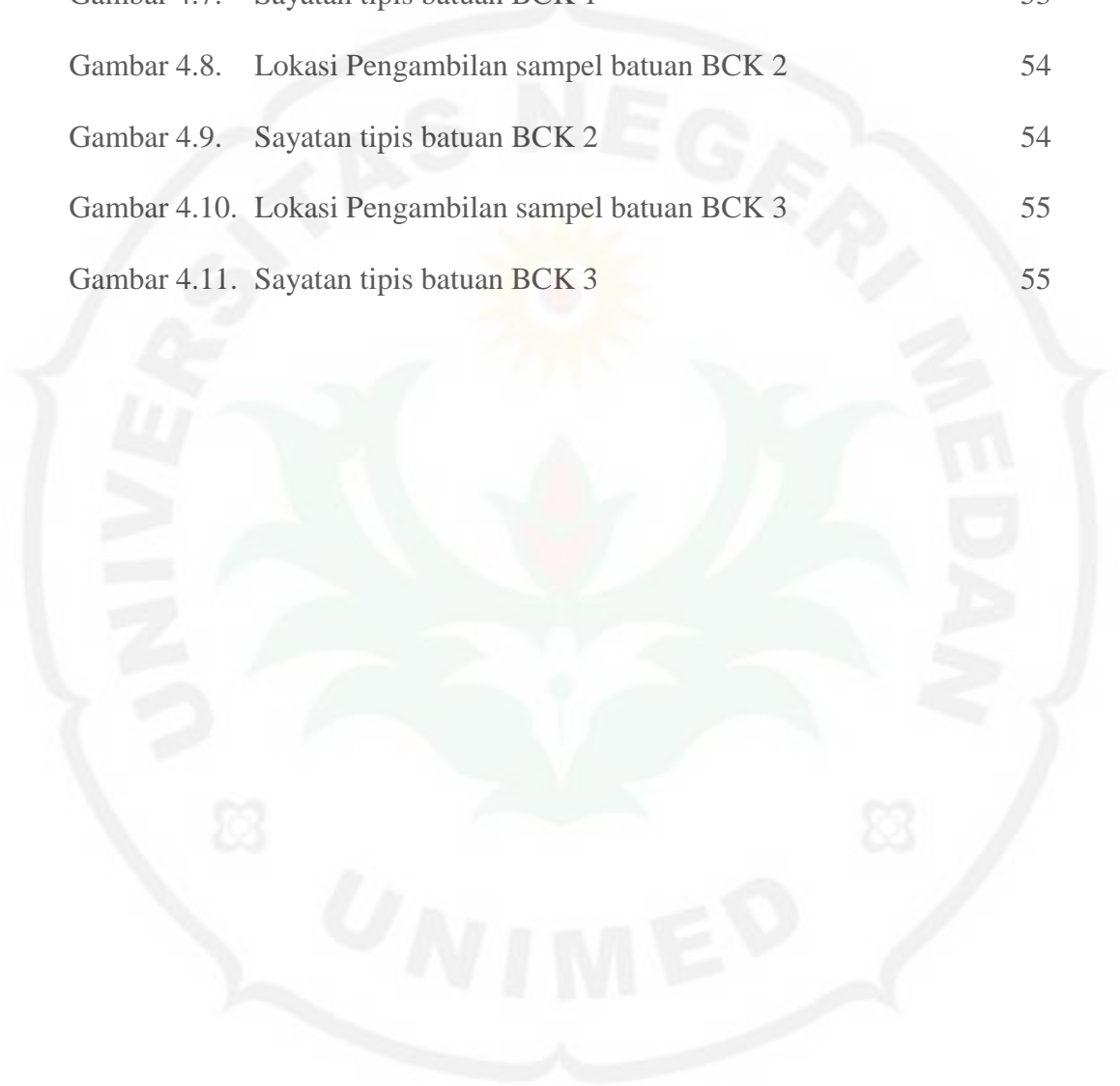


DAFTAR GAMBAR

	Halaman
Gambar 2.1. Siklus Batuan	8
Gambar 2.2. Contoh Batu Gamping	20
Gambar 2.3. Titik Sumber Arus di Permukaan dari medium homogen	23
Gambar 2.4. Resistivitas pada Silinder Konduktor	24
Gambar 2.5. Prinsip Kerja Geolistrik Resistivitas	26
Gambar 2.6. Susunan Elektroda dalam Konfigurasi <i>Schlumberger</i>	27
Gambar 2.7. Lapisan Medium dengan berbagai Resistivitas	28
Gambar 2.8. Skema Akuisisi Data dengan Cara <i>Lateral Mapping</i>	29
Gambar 2.9. Teknik Akuisisi Data <i>Vertical Sounding</i>	29
Gambar 2.10. Susunan Elektroda untuk Geolistrik 2-D	31
Gambar 3.1. Peta Lokasi Penelitian	32
Gambar 3.2. Diagram Alir Penelitian	36
Gambar 3.3. Resistivitas Konfigurasi <i>Schlumberger</i>	37
Gambar 3.4. Aliran Sinyal Konfigurasi <i>Schlumberger</i>	38
Gambar 4.1. Kontur permukaan daerah penelitian menggunakan <i>Surfer8</i>	42
Gambar 4.2. Hasil inversi penampang dua dimensi <i>line 1</i> (a) T1, (b) T6, (c) T7, (d) T12 dan (e) T13.	45
Gambar 4.3. Hasil inversi penampang dua dimensi <i>line 2</i> (a) T2, (b) T5, (c) T8, (d) T11 dan (e) T14	42
Gambar 4.4. Hasil inversi penampang dua dimensi <i>line 3</i> (a) T3, (b) T4, (c) T9, (d) T10 dan (e) T15	49
Gambar 4.5. Hasil kontur nilai resistivitas kedalaman 5 meter hingga 28,7 meter	51
Gambar 4.6. Lokasi Pengambilan sampel batuan BCK 1	52

Gambar 4.7. Sayatan tipis batuan BCK 1	53
Gambar 4.8. Lokasi Pengambilan sampel batuan BCK 2	54
Gambar 4.9. Sayatan tipis batuan BCK 2	54
Gambar 4.10. Lokasi Pengambilan sampel batuan BCK 3	55
Gambar 4.11. Sayatan tipis batuan BCK 3	55



THE
Character Building
UNIVERSITY